

การผลิตสารลดแรงตึงผิวชีวภาพโดยจุลินทรีย์ *Pseudomonas* sp.A41 ในถังหมักแบบกึ่งต่อเนื่อง

นางสาว เลิศลักษณ์ แก้วมูล

วิทยานิพนธ์นี้เป็นส่วนหนึ่งของการศึกษาตามหลักสูตรปริญญาวิศวกรรมศาสตรมหาบัณฑิต
สาขาวิชาวิศวกรรมเคมี ภาควิชาวิศวกรรมเคมี
คณะวิศวกรรมศาสตร์ จุฬาลงกรณ์มหาวิทยาลัย
ปีการศึกษา 2546

ISBN 974-17-4728-4

ลิขสิทธิ์ของจุฬาลงกรณ์มหาวิทยาลัย

BIOSURFACTANT PRODUCTION BY *Pseudomonas* sp. A41 IN FED BATCH FERMENTOR

Miss Lerdluk Kaewvimal

A Thesis Submitted in Partial Fulfillment of the Requirements
for the Degree of Master of Engineering in Chemical Engineering

Department of Chemical Engineering

Faculty of Engineering

Chulalongkorn University

Academic Year 2003

ISBN 974-17-4728-4

หัวข้อวิทยานิพนธ์ การผลิตสารลดแรงตึงผิวชีวภาพโดย *Pseudomonas* sp.A41 ในถังหมัก
แบบกึ่งต่อเนื่อง

โดย นางสาว เลิศลักษณ์ แก้ววิมล

สาขาวิชา วิศวกรรมเคมี

อาจารย์ที่ปรึกษา ผู้ช่วยศาสตราจารย์ ดร. สุรุ่ง ปรีชาแนนท์

อาจารย์ที่ปรึกษาร่วม ผู้ช่วยศาสตราจารย์ ดร. สุเทพ อนิยวน์

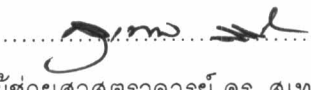
คณะกรรมการคณบดีคณะวิศวกรรมศาสตร์ จุฬาลงกรณ์มหาวิทยาลัย อนุมัติให้นับวิทยานิพนธ์ฉบับนี้เป็นส่วน
หนึ่งของการศึกษาตามหลักสูตรปริญญามหาบัณฑิต

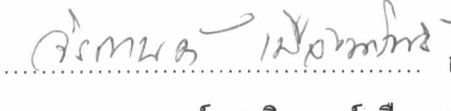
 คณบดีคณะวิศวกรรมศาสตร์
(ศาสตราจารย์ ดร. ดิเรก ลาวันย์ศิริ)

คณะกรรมการสอบวิทยานิพนธ์

 ประธานกรรมการ
(รองศาสตราจารย์ ดร. สวัสดิ์ ชุวนพานิชกุล)

 อาจารย์ที่ปรึกษา
(ผู้ช่วยศาสตราจารย์ ดร. สุรุ่ง ปรีชาแนนท์)

 อาจารย์ที่ปรึกษาร่วม
(ผู้ช่วยศาสตราจารย์ ดร. สุเทพ อนิยวน์)

 กรรมการ
(รองศาสตราจารย์ ดร. จิราภรณ์ เมืองนาโพธิ์)

 กรรมการ
(นavaekon Phueng กัญญา อำนวย)

เลิศลักษณ์ แก้ววิมล : การผลิตสารลดแรงตึงผิวชีวภาพโดย *Pseudomonas* sp. A41 ในถังหมักแบบกึ่งต่อเนื่อง(BIOSURFACTANT PRODUCTION BY *Pseudomonas* sp. A41 IN FED-BATCH FERMENTOR)

อาจารย์ที่ปรึกษา : ผศ. ดร. สุรุ่ง บริชานนท์ อาจารย์ที่ปรึกษาร่วม : ผศ. ดร. สุเทพ ชนียวนัน
129 หน้า ISBN 974-17-4728-4

งานวิจัยนี้เป็นการศึกษากระบวนการหมักแบบกึ่งต่อเนื่องเพื่อการผลิตสารลดแรงตึงผิวชีวภาพจากน้ำมันปาล์มดิบโดยจุลินทรีย์ *Pseudomonas* sp.A41 มีวัตถุประสงค์เพื่อเพิ่มอัตราการผลิตของสารลดแรงตึงผิวชีวภาพจากการหมักแบบไม่ต่อเนื่องโดยแหล่งคาร์บอนและในตรรженที่ใช้คือน้ำมันปาล์มดิบและใช้แอมโนนียมซัลเฟตตามลำดับ ซึ่งในส่วนแรกของงานวิจัยได้มีการศึกษาถึงผลของอัตราส่วนโดยไม่ลงของคาร์บอนต่อในตรรжен (*C/N*) ที่มีต่อการเจริญเติบโตของจุลินทรีย์และการผลิตสารลดแรงตึงผิวชีวภาพ โดยอัตราส่วนของ *C/N* ที่ใช้มีค่า 5, 50, 100, 150 และ 200 ตามลำดับโดยจะกำหนดความเข้มข้นของน้ำมันปาล์มดิบคงที่ที่ 20 กรัมต่อลิตร สำนับริมานในตรรженจะเปลี่ยนไปตามอัตราส่วนของ *C/N* ต่างๆ ซึ่งจากการทดลองในชุดรุ่ปชุมพูดexport ว่า อัตราส่วนของ *C/N* เท่ากับ 50 จะให้อัตราการเจริญเติบโตจำเพาะสูงที่สุด เท่ากับ 0.86 ต่อชั่วโมง Y_{x_c} และ Y_{x_n} มีค่า 0.27 และ 3.11 กรัมต่อกิโลกรัมสารตั้งต้นตามลำดับ และที่อัตราส่วนของ *C/N* 150 จะให้อัตราการผลิตสารลดแรงตึงผิวชีวภาพสูงที่สุดเท่ากับ 8.49 มิลลิโนตันต่อมตรต่อกิโลเมตรต่อชั่วโมง ค่า Y_{x_c} สูงที่สุดเท่ากับ 3.40 มิลลิโนตันต่อมตรต่อกิโลกรัมน้ำมันปาล์มดิบ ดังนั้นจึงนำสองอัตราส่วนนี้มาใช้ในกระบวนการหมักแบบกึ่งต่อเนื่อง โดยศึกษาถึงผลของเวลาที่ใช้ในการเปลี่ยนอัตราส่วนของ *C/N* จาก 50 ไปเป็น 150 โดยเวลาที่ใช้ในการเปลี่ยนอัตราส่วนคือ เวลาที่ 6, 9, 12 และ 15 ชั่วโมง ควบคุมความเข้มข้นของสารตั้งต้นให้คงที่ ทำได้โดยอาศัยการป้อนสารอาหารแบบทวีคูณ ควบคุมอุณหภูมิที่ 30 องศาเซลเซียส ค่าความเป็นกรดด่างที่ 7.5 อัตราการให้อาหารที่ 60 เปอร์เซ็นต์ของเชื้อ ความเร็วของ การบันทึกที่ 600 รอบต่อนาที ซึ่งพบว่าในช่วงแรกที่ให้อัตราส่วน *C/N* เท่ากับ 50 จุลินทรีย์มีอัตราการเจริญเติบโตจำเพาะใกล้เคียงกัน แต่หลังจากช่วงการเจริญเติบโตแบบทวีคูณ อัตราการเจริญเติบโตจำเพาะจะลดลง เช่นเดียวกับอัตราการผลิตผลิตภัณฑ์จำเพาะและผลได้ของเซลล์และผลิตภัณฑ์ต่อสารตั้งต้น โดยพบว่าเมื่อทำการเปลี่ยนอัตราส่วน *C/N* ที่ 12 ชั่วโมงจะให้อัตราการเจริญเติบโต สูงที่สุด 0.19 กรัมต่อลิตรต่อชั่วโมง แต่ก็จะให้อัตราการผลิตต่ำที่สุด 0.03 กรัมต่อลิตรต่อชั่วโมง ในขณะที่การเปลี่ยน *C/N* ที่เวลาอื่นเมื่ออัตราการผลิตเท่ากันที่ 0.04 กรัมต่อลิตรต่อชั่วโมง นั้นแสดงว่าเวลาในการเปลี่ยน *C/N* มีผลต่อการผลิตเซลล์มากกว่าอัตราการผลิตสารลดแรงตึงผิวชีวภาพ กระบวนการหมักแบบกึ่งต่อเนื่องให้อัตราการผลิตเซลล์และสารลดแรงตึงผิวชีวภาพสูงกว่าการเพาะเลี้ยงแบบไม่ต่อเนื่อง 126.92 และ 25 เปอร์เซ็นต์ตามลำดับ หลังจากนั้นได้มีการทดสอบประสิทธิภาพ (Effectiveness) การทำงานของสารลดแรงตึงผิวชีวภาพที่ผลิตได้เปรียบเทียบกับสารลดแรงตึงผิวที่กองทัพเรือใช้พบว่าสารลดแรงตึงผิวชีวภาพที่ผลิตได้มีประสิทธิภาพมากกว่าสารลดแรงตึงผิวที่ทางกองทัพเรือใช้ 7.13 เปอร์เซ็นต์

ภาควิชาวิศวกรรมเคมี
สาขาวิชา วิศวกรรมเคมี
ปีการศึกษา 2546

ลายมือชื่อนิสิต.....
ลายมือชื่ออาจารย์ที่ปรึกษา.....
ลายมือชื่ออาจารย์ที่ปรึกษาร่วม.....

4470799521 :MAJOR CHEMICAL ENGINEERING

KEY WORD: BIOSURFACTANT / RHAMNOLIPIDS / FED BATCH FERMENTATION

LERDLUK KAEWVIMOL: THESIS TITLE (BIOSURFACTANT PRODUCTION BY
Pseudomonas sp. A41 IN FED-BATCH FERMENTOR) THESIS ADVISOR :
 ASSIST. PROF. SEEROONG PRICHANONT, Ph.D., THESIS COADVISOR :
 ASSIST. PROF. SUTHEP THANIYAVARN, 129 pp. ISBN 974-17-4728-4

This project is the study of fed-batch fermentation for biosurfactant production from crude palm oil by *Pseudomonas* sp. A41 with the objective of increasing biosurfactant productivity from batch process. Carbon and nitrogen sources used were crude palm oil and ammonium sulphate, respectively. The first part of project was to investigate effects of carbon to nitrogen mole ratio (C/N) on specific growth and production rate. The ratio studied were respectively, 5, 50, 100, 150 and 200 and obtained by keeping initial crude palm oil concentration constant at 20 g l⁻¹ in every cases, while varying ammonium sulphate concentration in accordance to the specified C/N ratios. Experimental result in shake flasks indicated that at C/N equals to 50, specific growth rate was at the maximum value at 0.86 hr⁻¹, Y_{X_C} and Y_{X_N} were 0.27 g g⁻¹ oil and 3.11g g⁻¹((NH₄)₂SO₄), respectively. On the other hand, specific production rate and Y_{P_C} were found optimum at C/N equals 150 at value of 8.49 mNm⁻¹ gcell⁻¹hr⁻¹ and 3.40 mNm⁻¹ g⁻¹, respectively. This C/N ratios were further applied as controlled condition in fed batch fermentation. Fed-batch fermentation experiments were carried out to investigate switching time from C/N equals 50 to 150, these switching time were 6, 9, 12 and 15 hours of fermentation. Exponential feed strategy was used to control nutrient concentrations. Other operating conditions were 30°C, pH 7.5, 60% air saturation, and stressing speed of 600 rpm. The highest specific growth and production rates were found within the first six hours and later decreased. Switching time of 12 hrs was give highest growth rate of 0.19 g l⁻¹hr⁻¹. Other switching time gave equal production rate at 0.04 g.l⁻¹hr⁻¹. It was, therefore, conclude that switching time had more effect on cell growth than biosurfactant production. Fed batch fermentation strategy according to high growth rate and production rate than batch fermentation were 126.92% and 25% respectively. The final part of the project was to test effectiveness of biosurfactant produced in comparison to a surfactant with is currently used in the Royal Navy. The biosurfactant produced demonstrated 7.13% higher effectiveness than the commercial surfactant.

Department Chemical Engineering

Student's signature.....

Field of study Chemical Engineering

Advisor's signature.....

Academic year 2003

Co- advisor's signature.....

กิติกรรมประกาศ

วิทยานิพนธ์ฉบับนี้สำเร็จลุล่วงไปได้ด้วยความช่วยเหลืออย่างดียิ่งจากบุคคลหลายท่าน ผู้วิจัยขอขอบคุณ ผู้ช่วยศาสตราจารย์ ดร.สุรุง ปรีchanน์ อาจารย์ที่ปรึกษาวิทยานิพนธ์ และ ผู้ช่วยศาสตราจารย์ ดร.สุเทพ ชนิยวน อาจารย์ที่ปรึกษาวิทยานิพนธ์ร่วม ที่ได้ให้คำแนะนำวิธีการ ทำงานวิจัยตลอดจนตรวจสอบแก้ไขวิทยานิพนธ์จนเสร็จสมบูรณ์

บริษัทชุมพรอุดสาหกรรมนำมันปาล์มจำกัด ที่กรุณาเอื้อน้ำมันปาล์มดิบเพื่อใช้ในงานวิจัย จนสำเร็จลุล่วง

กรมวิทยาศาสตร์ทหารเรือ กองทัพเรือ สำหรับทุนอุดหนุนงานวิจัย และเครื่องคอมพิวเตอร์ สำหรับใช้ในงานวิจัย

คุณ ณรงค์ ลักษณาภิรมย์ (พี่ตี) ที่กรุณาให้คำแนะนำในการทำงานวิจัย และให้ข้อมูลที่ เป็นประโยชน์ต่องานวิจัย ตลอดมาถึงแม้จะรบกวนเวลาพักผ่อนก็ตาม คุณพรัตน์ วนิชสุขสมบติ (พี่ปุ๊) สำหรับคำแนะนำด้านการเพาะเลี้ยงจุลินทรีย์และการวัดค่าแรงดึงผิวของสารตัวอย่างและ ข้อมูลอื่นๆที่เป็นประโยชน์สำหรับงานวิจัย

งานวิจัยนี้จะสำเร็จลงไม่ได้ถ้าขาดบุคคลเหล่านี้ นายจีรัณ กิงเก้า ที่ให้คำปรึกษา ข้อแนะนำในการทำงานวิจัยและช่วยประกอบอุปกรณ์ที่ใช้ในงานวิจัย นางสาวพิงใจ บุญยืน นางสาวทัศนประภา เลิศศรีวงศ์ นายนฤทธิพล เสือมี นายตีริรา ออมราลิขิต สำหรับความ ช่วยเหลือและแรงงานในขณะทำงานวิจัย นางสาวพรทิพย์ วงศ์สุโขโต นายคุณนาฏฐิ บุญญาณพ คุณ นางสาวศรีวรรณ ศิลาพาภุ นายกฤษฎี ลิลิตตระการภุ สำหรับคำแนะนำในการใช้ คอมพิวเตอร์ และบรรยายกาศที่ดีในการพิมพิทยานิพนธ์ นายณัฐพันธ์ ศรีรัตน์ นายธนาวุฒ ทอง มะโรงสี นายวิศ แจ่งสกุล นายสิทธิรักษ์ พิตรปรีชา สำหรับคำแนะนำในการใช้คอมพิวเตอร์ นายณัฐฐุณิ ลักษณาปัญญาภุ สำหรับคำแนะนำในการเขียนวิทยานิพนธ์ นายชัยวัฒน์ ถนน ญาติ นายชาญวิทย์ ตระเดช นายสมเกียรติ ทีสกุล สำหรับความช่วยเหลือในการล้างถังหมัก และ เสบียงคร่ออย่างมาก

สุดท้ายนี้ขอกราบขอบคุณบุคคลบิดา มารดา น้องๆสำหรับกำลังใจและให้ความสนับสนุนใน การศึกษาตลอดมา

สารบัญ

	หน้า
บทคัดย่อภาษาไทย	๔
บทคัดย่อภาษาอังกฤษ	๕
กิตติกรรมประกาศ	๖
สารบัญ	๗
สารบัญตาราง	๘
สารบัญรูป	๙
บทที่ 1 บทนำ	๑
1.1 มูลเหตุจุจิก	๑
1.2 วัตถุประสงค์	๓
1.3 ประโยชน์ที่คาดว่าจะได้รับ	๓
1.4 ขอบเขตของงานวิจัย	๓
บทที่ 2 ทฤษฎี.....	๕
2.1 ลักษณะโครงสร้างของสารลดแรงตึงผิวชีวภาพ	๕
2.2 การจำแนกสารลดแรงตึงผิวชีวภาพ	๑๒
2.3 กระบวนการขันย้ายอาหารเข้าเซลล์	๑๗
2.4 ลักษณะการเกิดผลิตภัณฑ์	๒๐
2.5 กระบวนการหมักแบบบกีงต่อเนื่อง (Fed batch Fermentation)	๒๔
บทที่ 3 ตรวจสอบสาร	๒๙
3.1 ชนิดของจุลินทรีย์และผลิตภัณฑ์ที่ผลิตได้	๒๙
3.2 การทดสอบสารลดแรงตึงผิวในเชิงคุณภาพและปริมาณ	๓๑
3.3 ปัจจัยที่มีอิทธิพลต่อกระบวนการผลิตสารลดแรงตึงผิวชีวภาพของ <i>Pseudomonas</i> sp	๓๕
บทที่ 4 วิธีการทดลอง	๔๕
4.1 อุปกรณ์และเครื่องมือ	๔๕
4.2 เชื้อจุลินทรีย์	๔๗
4.3 วิธีการทดลอง	๔๗
บทที่ 5 ผลการทดลองและวิเคราะห์ผลการทดลอง	๕๓
5.1 การเพาะเลี้ยงจุลินทรีย์ในกระบวนการหมักแบบไม่ต่อเนื่อง	๕๓
5.2 การเพาะเลี้ยงจุลินทรีย์โดยกระบวนการหมักแบบบกีงต่อเนื่อง	๖๖

สารบัญ(ต่อ)

	หน้า
5.3 การทดสอบประสิทธิภาพของสารลดแรงดึงผ้าชีวภาพที่ผลิตได้ กับสารลดแรงดึงผ้าที่กองทัพเรือใช้ในปัจจุบัน (% Effectiveness).....	80
บทที่ 6 สรุปผลการทดลองและข้อเสนอแนะ.....	82
6.1 สรุปผลการทดลอง.....	82
6.2 ข้อเสนอแนะ.....	84
รายการอ้างอิง	85
ภาคผนวก.....	93
ภาคผนวก ก	94
ภาคผนวก ข	98
ภาคผนวก ค	112
ภาคผนวก ง	124
ประวัติผู้เขียนวิทยานิพนธ์.....	129

สารบัญตาราง

หน้า

ตารางที่ ๓.๑ สารลดแรงตึงผิวชีวภาพที่ผลิตได้จากจุลินทรีย์ชนิดต่างๆ ณ รงค์ (๒๕๔๓).....	๓๐
ตารางที่ ๓.๒ การผลิต Rhamnolipids (RL) จาก <i>Pseudomonas</i> sp.	
ในสภาพะปกติ	๓๖
ตารางที่ ๓.๓ ความสามารถในการเจริญเติบโตของจุลินทรีย์และการผลิตสารลดแรงตึงผิว ชีวภาพ เมื่อเติมสารลดแรงตึงผิวเริ่มต้นต่างกัน (ຈະຈັກ, ๒๕๔๔).....	๔๒
ตารางที่ ๓.๔ กระบวนการหมักแบบต่างๆ ที่ใช้ในการผลิตสารลดแรงตึงผิวชีวภาพ	๔๔
ตารางที่ ๕.๑ ผลได้ของเซลล์ และผลิตภัณฑ์ต่อสารอาหาร.....	๖๐
ตารางที่ ๕.๒ อัตราจำเพาะทางจนพลศัสตร์ต่างๆ ที่คำนวนได้ ที่อัตราส่วนโดยโมล ระหว่างคาร์บอนและ ในตอรเจน เท่ากับ ๕๐ และ ๑๕๐.....	๖๕
ตารางที่ ๕.๓ อัตราการผลิตเซลล์และสารลดแรงตึงผิวชีวภาพโดยกระบวนการหมัก แบบไม่ต่อเนื่องและกระบวนการหมักแบบบีก์ต่อเนื่อง.....	๗๙
ตารางที่ ๕.๔ การเปรียบเทียบประสิทธิภาพของสารลดแรงตึงผิวชีวภาพที่ผลิตได้ กับสารลดแรงตึงผิวที่กองหักเรือใช้(CHEMTEC ๓๐๗).....	๘๑
ตารางที่ ๖.๑ อัตราการเจริญเติบโตจำเพาะอัตราการผลิตผลิตภัณฑ์จำเพาะ และ ความสามารถในการผลิตผลิตภัณฑ์ ของจุลินทรีย์ <i>Pseudomonas</i> sp.A41 ที่ได้จากการเลี้ยงโดยใช้แหล่งคาร์บอนชนิดต่างๆ	๙๙
ตารางที่ ๖.๒ อัตราการเจริญเติบโตจำเพาะอัตราการผลิตผลิตภัณฑ์จำเพาะ และ ความสามารถในการผลิตผลิตภัณฑ์ ของจุลินทรีย์ <i>Pseudomonas</i> sp.A41 ที่ได้จากการเลี้ยงโดยใช้แหล่งในตอรเจนชนิดต่างๆ.....	๑๐๑
ตารางที่ ๖.๓ การเพาะเลี้ยงจุลินทรีย์ <i>Pseudomonas</i> sp.A41 ใน ที่อัตราส่วนของ C/N เท่ากับ ๕	๑๐๒
ตารางที่ ๖.๔ การเพาะเลี้ยงจุลินทรีย์ <i>Pseudomonas</i> sp.A41 ที่อัตราส่วนของ C/N เท่ากับ ๕๐.....	๑๐๓
ตารางที่ ๖.๕ การเพาะเลี้ยงจุลินทรีย์ <i>Pseudomonas</i> sp.A41 ที่อัตราส่วนของ C/N เท่ากับ ๑๐๐	๑๐๔
ตารางที่ ๖.๖ การเพาะเลี้ยงจุลินทรีย์ <i>Pseudomonas</i> sp.A41 ที่อัตราส่วนของ C/N เท่ากับ ๑๕๐	๑๐๕

สารบัญตาราง(ต่อ)

หน้า

ตารางที่ ข.7 การเพาะเลี้ยงจุลินทรีย์ <i>Pseudomonas sp.A41</i> ที่อัตราส่วนของ C/N เท่ากับ 200	106
ตารางที่ ข.8 การเพาะเลี้ยงจุลินทรีย์ <i>Pseudomonas sp.A41</i> ในถังหมักแบบกึ่งต่อเนื่อง ที่เวลาในการเปลี่ยนอัตราส่วนของ C/N เท่ากับ 6 ชั่วโมง	108
ตารางที่ ข.9 การเพาะเลี้ยงจุลินทรีย์ <i>Pseudomonas sp.A41</i> ในถังหมักแบบกึ่งต่อเนื่อง ที่เวลาในการเปลี่ยนอัตราส่วนของ C/N เท่ากับ 9 ชั่วโมง	109
ตารางที่ ข.10 การเพาะเลี้ยงจุลินทรีย์ <i>Pseudomonas sp.A41</i> ในถังหมักแบบกึ่งต่อเนื่อง ที่เวลาในการเปลี่ยนอัตราส่วนของ C/N เท่ากับ 12 ชั่วโมง	110
ตารางที่ ข.11 การเพาะเลี้ยงจุลินทรีย์ <i>Pseudomonas sp.A41</i> ในถังหมักแบบกึ่งต่อเนื่อง ที่เวลาในการเปลี่ยนอัตราส่วนของ C/N เท่ากับ 15 ชั่วโมง	111
ตารางที่ ค.1 องค์ประกอบของน้ำมันปาล์ม (องอาจ และจินตนา,2537).....	119
ตารางที่ ค.2 การคำนวนมูลของคาร์บอนและไนโตรเจนในแต่ละองค์ประกอบ ของน้ำมันปาล์ม.....	119
ตารางที่ ค.3 ปริมาณแอมโมเนียมซัลเฟต($(\text{NH}_4)_2\text{SO}_4$) ที่ใช้ในแต่ละอัตราส่วนของ คาร์บอนต่อไนโตรเจน โดยให้ริมาณน้ำมันปาล์มดิบคงที่ ที่ 20 กรัมต่อลิตร ...	120
ตารางที่ ค.4 อัตราการป้อนสารที่เวลาต่างๆกรณีอัตราส่วนระหว่างคาร์บอนและ ไนโตรเจนเท่ากับ 50 และ 150ที่เวลาในการเปลี่ยนอัตราส่วนต่างๆ.....	122

สารบัญรูป

	หน้า
รูปที่ 2.1 โครงสร้างของสารลดแรงตึงผิว.....	6
รูปที่ 2.2 การกระจายตัวของโมเลกุลของสารลดแรงตึงผิวนับผิวน้ำ.....	6
รูปที่ 2.3 กราฟความสัมพันธ์ระหว่างความเข้มข้นของสารลดแรงตึงผิวกับค่าแรง ตึงผิวเพื่อแสดงการหาค่าความเข้มข้นวิกฤตของไมเซลล์	7
รูปที่ 2.4 แสดงโครงสร้างและการจัดเรียงตัวของสารลดแรงตึงผิวชีวภาพ.....	8
รูปที่ 2.5 การรวมตัวของโมเลกุลสารลดแรงตึงผิวชีวภาพ	10
รูปที่ 2.6 โครงสร้างของทรีฮาโลสลิปิด	13
รูปที่ 2.7 โครงสร้างของโซโฟโนลิปิด	13
รูปที่ 2.8 โครงสร้างของแรมโนลิปิดทั้ง 4 ชนิด.....	14
รูปที่ 2.9 โครงสร้างของฟอสโฟลิปิด.....	15
รูปที่ 2.10 โครงสร้างของเปปไทด์และกรดอะมิโน.....	15
รูปที่ 2.11 โครงสร้างของอิมัลเซ่น ที่ผลิตจาก <i>Acinetobacter calcoaceticus</i>	16
รูปที่ 2.12 โครงสร้างของสารลดแรงตึงผิวชีวภาพชนิดอนุภาค	17
รูปที่ 2.13 แสดงการขยับสารประกอบไฮดรคาร์บอนเข้าสู่เซลล์.....	18
รูปที่ 2.14 กลไกการนำสารประกอบอัลเคนผ่านกรดไขมันไปใช้ภายในเซลล์.....	20
รูปที่ 2.15 ลักษณะการเกิดผลิตภัณฑ์ในรูปแบบต่างๆ.....	23
รูปที่ 2.16 การเพาะเลี้ยงแบบครังคาว.....	24
รูปที่ 3.1 โครงสร้างของแรมโนลิปิด ที่ได้จากการเลี้ยง <i>Paeruginosa</i>	33
รูปที่ 3.2 การแยกของแรมโนลิปิดชนิดต่างๆเมื่อทำการแยกด้วยไฮเพอร์ฟอร์ಮานซ์ ลิควิด โครมาโตกราฟี.....	34
รูปที่ 3.3 อัตราการเจริญเติบโตจำเพาะของเซลล์.....	39
รูปที่ 3.4 อัตราการผลิต ผลิตภัณฑ์จำเพาะ.....	39
รูปที่ 3.5 การเจริญเติบโตของจุลินทรีย์ <i>Pseudomonas</i> ATCC10145.....	42
รูปที่ 3.6 การเจริญเติบโตของเซลล์ น้ำหนักเซลล์แห้ง ปริมาณแรมโนลิปิดที่ผลิตได้ ความเข้มข้นของกลูโคส โดยวิธีการมักแบบกึ่งต่อเนื่องของ <i>Pseudomonas</i> YPJ-80	43
รูปที่ 4.1 การเพาะเลี้ยงจุลินทรีย์ในขวดรูปทรงพู่เขย่า.....	49
รูปที่ 4.2 ถังมักขนาด 10 ลิตร.....	50

สารบัญรูป (ต่อ)

หน้า

รูปที่ 5.1 การเจริญเติบโตของจุลินทรีย์ <i>Pseudomonas</i> sp.A41 การผลิตสารลดแรงตึงผิวชีวภาพ และการเปลี่ยนแปลงปริมาณเหล่งคาร์บอนและไนโตรเจนที่อัตราส่วนของ C/N เท่ากับ 150 ในขวดรูปชามพู่	56
รูปที่ 5.2 ความสัมพันธ์ระหว่าง $\ln x$ กับ เวลาที่อัตราส่วนของ C/N เท่ากับ 150 ในขวดรูปชามพู่..57	
รูปที่ 5.3 การเปรียบเทียบอัตราการเจริญเติบโตจำเพาะ อัตราการผลิตสารลดแรงตึงผิวชีวภาพจำเพาะ (ก) และอัตราการใช้น้ำมันปาล์มดิบและเอมโมเนียมซัลเฟตจำเพาะ (ข) ที่อัตราส่วนของ C/N ต่างๆกัน.....59	
รูปที่ 5.4 การเจริญเติบโตของจุลินทรีย์ <i>Pseudomonas</i> sp.A41 การผลิตสารลดแรงตึงผิวชีวภาพ และการเปลี่ยนแปลงปริมาณเหล่งคาร์บอนและไนโตรเจนที่อัตราส่วนของ C/N เท่ากับ 50 (ก) และ 150 (ข)	63
รูปที่ 5.5 การเจริญเติบโตของจุลินทรีย์ <i>Pseudomonas</i> sp.A41 ความเข้มข้น(กรัมต่อลิตร)ของสารลดแรงตึงผิวชีวภาพ และการเปลี่ยนแปลงปริมาณเหล่งคาร์บอนและไนโตรเจน ที่อัตราส่วนของ C/N เท่ากับ 50 (ก) และ 150 (ข)	64
รูปที่ 5.6 รูปแบบการป้อนสารอาหารโดยกระบวนการหมักแบบกึ่งต่อเนื่องที่เวลาในการเปลี่ยนอัตราส่วน C/N เท่ากับ 6 ชั่วโมง.....67	
รูปที่ 5.7 การเจริญเติบโตของจุลินทรีย์ <i>Pseudomonas</i> sp.A41 การผลิตสารลดแรงตึงผิวชีวภาพ ในกระบวนการหมักแบบกึ่งต่อเนื่องเมื่อเวลาที่เปลี่ยนอัตราส่วนระหว่าง C/N คือ 6 ชั่วโมง	68
รูปที่ 5.8 การเจริญเติบโตของจุลินทรีย์ <i>Pseudomonas</i> sp.A41 การผลิตสารลดแรงตึงผิวชีวภาพในกระบวนการหมักแบบกึ่งต่อเนื่องเมื่อเวลาที่เปลี่ยนอัตราส่วนระหว่าง C/N คือ 9 ชั่วโมง	68
รูปที่ 5.9 การเจริญเติบโตของจุลินทรีย์ <i>Pseudomonas</i> sp.A41 การผลิตสารลดแรงตึงผิวชีวภาพ ในกระบวนการหมักแบบกึ่งต่อเนื่องเมื่อเวลาที่เปลี่ยนอัตราส่วนระหว่าง C/N คือ 12	69

สารบัญรูป(ต่อ)

หน้า

รูปที่ 5.10 การเจริญเติบโตของจุลินทรีย์ <i>Pseudomonas</i> sp.A41 การผลิตสารลดแรงตึงผิวในกระบวนการหมักแบบกึ่งต่อเนื่องเมื่อเวลาที่เปลี่ยนอัตราส่วนระหว่าง C/N คือ 15	69
รูปที่ 5.11 ความสัมพันธ์ระหว่าง In x กับ เวลา ของการเจริญเติบโตของจุลินทรีย์ <i>Pseudomonas</i> sp.A41 การผลิตสารลดแรงตึงผิวในกระบวนการหมักแบบกึ่งต่อเนื่องเมื่อเวลาที่เปลี่ยนอัตราส่วนระหว่าง C/N คือ 6 ชั่วโมง.....	70
รูปที่ 5.12 ความสัมพันธ์ระหว่าง In x กับ เวลา ของการเจริญเติบโตของจุลินทรีย์ <i>Pseudomonas</i> sp.A41 การผลิตสารลดแรงตึงผิวในกระบวนการหมักแบบกึ่งต่อเนื่องเมื่อเวลาที่เปลี่ยนอัตราส่วนระหว่าง C/N คือ 9 ชั่วโมง	70
รูปที่ 5.13 ความสัมพันธ์ระหว่าง In x กับ เวลา ของการเจริญเติบโตของจุลินทรีย์ <i>Pseudomonas</i> sp.A41 การผลิตสารลดแรงตึงผิวในกระบวนการหมักแบบกึ่งต่อเนื่องเมื่อเวลาที่เปลี่ยนอัตราส่วนระหว่าง C/N คือ 12 ชั่วโมง.....	71
รูปที่ 5.14 ความสัมพันธ์ระหว่าง In x กับ เวลา ของการเจริญเติบโตของจุลินทรีย์ <i>Pseudomonas</i> sp.A41 การผลิตสารลดแรงตึงผิวในกระบวนการหมักแบบกึ่งต่อเนื่องเมื่อเวลาที่เปลี่ยนอัตราส่วนระหว่าง C/N คือ 15 ชั่วโมง.....	71
รูปที่ 5.15 การเปรียบเทียบอัตราการเจริญเติบโตจำเพาะของจุลินทรีย์ <i>Pseudomonas</i> sp.A41 ในระหว่างการหมักแบบไม่ต่อเนื่องและกึ่งต่อเนื่อง.....	73
รูปที่ 5.16 การเปรียบเทียบอัตราการผลิตจำเพาะของจุลินทรีย์ <i>Pseudomonas</i> sp.A41 ในระหว่างการหมักแบบไม่ต่อเนื่องและกึ่งต่อเนื่อง.....	74
รูปที่ 5.17 การเปรียบเทียบอัตราการใช้แหล่งคาร์บอนจำเพาะของจุลินทรีย์ <i>Pseudomonas</i> sp.A41 ในระหว่างการหมักแบบไม่ต่อเนื่องและกึ่งต่อเนื่อง.....	75
รูปที่ 5.18 การเปรียบเทียบอัตราการใช้แหล่งในโตรเจนจำเพาะของจุลินทรีย์ <i>Pseudomonas</i> sp.A41 ในระหว่างการหมักแบบไม่ต่อเนื่องและกึ่งต่อเนื่อง.....	76
รูปที่ ๊.1 การเจริญเติบโต และการผลิตสารลดแรงตึงผิวชีวภาพ ของจุลินทรีย์ <i>Pseudomonas</i> sp.A41 ที่อัตราส่วนของ C/N เท่ากับ 5	102
รูปที่ ๊.2 การเจริญเติบโต และการผลิตสารลดแรงตึงผิวชีวภาพ ของจุลินทรีย์ <i>Pseudomonas</i> sp.A41 ที่อัตราส่วนของ C/N เท่ากับ 50	103

สารบัญรูป(ต่อ)

หน้า

รูปที่ ข.3 การเจริญเติบโต และการผลิตสารลดแรงตึงผิวชีวภาพ ของจุลินทรีย์ <i>Pseudomonas</i> sp.A41 ที่อัตราส่วนของ C/N เท่ากับ 100	104
รูปที่ ข.4 การเจริญเติบโต และการผลิตสารลดแรงตึงผิวชีวภาพ ของจุลินทรีย์ <i>Pseudomonas</i> sp.A41 ที่อัตราส่วนของ C/N เท่ากับ 150	105
รูปที่ ข. 5 การเจริญเติบโต และการผลิตสารลดแรงตึงผิวชีวภาพ ของจุลินทรีย์ <i>Pseudomonas</i> sp.A41 ที่อัตราส่วนของ C/N เท่ากับ 200	106
รูปที่ ค.1 ความสัมพันธ์ระหว่าง ค่า Igk ของน้ำหนักเซลล์แห้ง กับเวลา.....	114
รูปที่ ค.2 ความสัมพันธ์ระหว่าง ค่าแรงตึงผิว กับค่าอินทิเกรตของความ เข้มข้นของเซลล์.....	116
รูปที่ ค.3 ความสัมพันธ์ระหว่าง ปริมาณในตอรเจน กับค่าอินทิเกรตของความ เข้มข้นของเซลล์.....	117
รูปที่ ค.4 ความสัมพันธ์ระหว่าง ปริมาณการบอน กับค่าอินทิเกรตของความ เข้มข้นของเซลล์.....	118
รูปที่ ค.5 กราฟมาตรฐานของปริมาณน้ำมันที่กระจายตัวอยู่ในน้ำกับค่าการดูดกลืนแสง ที่ 580 นาโนเมตร.....	123
รูปที่ ง.1 ขั้นตอนการวัดค่าแรงตึงผิวด้วยวิธี Du Nouy Ring.....	125
รูปที่ ง.2 องค์ประกอบของเครื่องวัดค่าแรงตึงผิวรุ่น K6 บริษัท KRUSS ประเภทเยอรมัน.....	127